

تأثیر الگوهای بارگذاری جانبی بر روی ضربی رفتار سازه‌ی فلزی با شکل پذیری متوسط

جواد وانقی‌عیار*

(دانشیار)

غلامرضا عبد‌الله‌زاده (استادیار)

محمد رضا بنی‌هاشمی (دانشجوی کارشناسی ارشد)

دانشکده‌ی هندسی عمران، دانشگاه صنعتی نوشیروانی بافق

در این توشیمار، تأثیر الگوی بارگذاری بر اضافه مقاومت، شکل پذیری، و ضربی رفتار قاب خمشی با شکل پذیری متوسط با استفاده از تحلیل استاتیکی غیرخطی^۱ و با آنالیز دینامیکی غیرخطی پرسی شده است. تأثیر پارامترهای مؤثر دیگری بر روی ضربی رفتار از جمله نوع مقاطع ایرانی (TPB و TPF) و امریکایی (W) به کار گرفته شده در طراحی، تعداد دهانه‌ها و ارتفاع سازه ارزیابی شده است. نتایج نشان می‌دهند که روند تغییرات مقادیر به دست آمده از آنالیز استاتیکی غیرخطی با نتایج آنالیز دینامیکی غیرخطی بر هم منطبق است و مقادیر شکل پذیری و ضربی رفتار سازه‌های طراحی شده با مقاطع امریکایی بیشتر از مقادیر سازه‌های طراحی با مقاطع ایرانی است. همچنین با افزایش ارتفاع شکل پذیری، و ضربی رفتار سازه برای هر دو نوع مقاطع به کار گرفته شده در طراحی تحت کلیه‌ی الگوهای بارگذاری جانبی کاهش یافته است. ضمناً با توجه به نتایج متوسط شکل پذیری و ضربی رفتار به دست آمده برای سازه‌های طراحی شده با مقاطع امریکایی تحت الگوی بارگذاری مستطیلی اصلاح شده و برای مقاطع ایرانی، الگوی بارگذاری مثلثی-مستطیلی بیشترین مقدار را از خود نشان داده است.

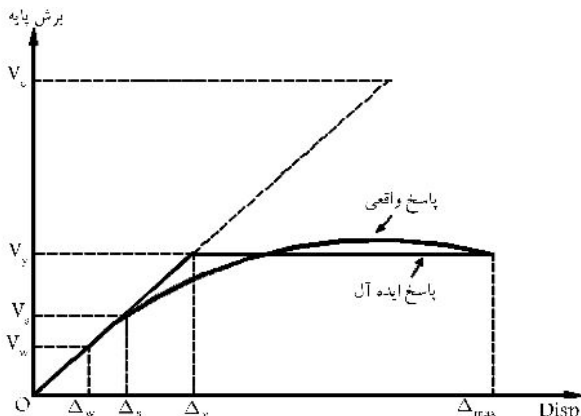
واژگان کلیدی: شکل پذیری، ضربی رفتار، تحلیل استاتیکی غیرخطی، تحلیل دینامیکی غیرخطی، الگوهای بارگذاری جانبی.

۱. مقدمه

یکی از پارامترهای مهم در کاهش نیروهای طراحی در مقابل زلزله، ضربی رفتار ساختمان‌هاست. ارزیابی ضربی رفتار توصیه شده در آینه‌نامه‌ها که اصولاً اینسانی تجربی دارند، با بررسی عملکرد ساختمان‌های ساخته شده براساس ضوابط آینه‌نامه‌ی در زلزله‌های واقعی انجام می‌پذیرد. اما در چند دهه‌ی اخیر به صورت موازی مطالعات تئوریک گسترش دهی بر روی تعیین ضربی رفتار ساختمان‌ها انجام شده است. براساس این مطالعات عوامل اصلی مؤثر بر مقدار ضربی رفتار ساختمان‌ها دو عامل ظرفیت شکل پذیری و مقاومت افزون سازه هستند که خود تحت تأثیر پارامترهای مختلفی قرار دارند. در سال ۲۰۰۳ محققان، با بررسی ضربی رفتار قاب‌های ترکیبی بتی با مهاربندهای فولادی ضربی رفتار سازه افزایش یافته و با افزایش مهاربند در این نوع سیستم‌ها، ضربی رفتار سازه افزایش یافته و با افزایش تعداد طبقات ضربی رفتار سازه در این نوع سیستم کاهش می‌یابد.^[۱] در پژوهشی دیگر در سال ۱۹۹۵ نشان داده شد که اضافه مقاومت و شکل پذیری سازه در سیستم‌های قاب خمشی با مهاربندهای ضربی در X و V شکل تقریباً یکسان است، و همچنین ضربی

* نویسنده مسئول

تاریخ: دریافت ۱۵/۱/۱۳۸۹، اصلاحیه ۲۶/۲/۱۳۹۰، پذیرش ۳/۵/۱۳۹۰.



شکل ۱. رفتار کلی سازه.

و اتلاف ارزی بر اثر رفتار هیسترزیس^۲، میرایی^۳ و اثر مقاومت افرون سازه، این نیروی ارجاعی را با استفاده از ضریب کاهش مقاومت (ضریب رفتار) به نیروی طراحی تبدیل می‌کنند. با توجه به شکل ۱، مقدار مقاومت کشسانی (V_e) مورد نیاز از رابطه ۱ بدست می‌آید:

$$V_e = C_e \cdot W \quad (1)$$

در این رابطه، W وزن سازه و V_e بیشینه‌ی برش پایه و C_e ضریب زلزله است، در صورتی که سازه کاملاً در محدوده‌ی کشسانی باقی بماند. از آنجا که یک سازه که به صورت صحیح طراحی شده است، معمولاً می‌تواند مقادیر قبل ملاحظه‌ی از شکل پذیری را تأمین کند، با توجه به شکل ۱، مقدار مقاومت کشسانی (V_e) مورد نیاز از رابطه ۱ بدست می‌آید:

$$V_e = C_e \cdot W \quad (1)$$

۱.۳. ضریب شکل پذیری کلی سازه (μ_s)
با ایده‌آل کردن منحنی کشسانی-خمری کامل در شکل ۱، ضریب شکل پذیری کلی سازه طبق رابطه ۲ عبارت است از:

$$\mu_s = \frac{\Delta_{\max}}{\Delta_y} \quad (2)$$

۲.۰.۳. ضریب کاهش مقاومت در اثر شکل پذیری ($R\mu$)
در اثر شکل پذیری، ساختمان ظرفیتی برای استهلاک انرژی خواهد داشت. بدليل این ظرفیت، استهلاک انرژی نیروی طراحی کشسانی (V_e) را می‌توان طبق رابطه ۳، به تراز مقاومت تسلیم (V_y) کاهش داد:

$$R_\mu = \frac{V_e}{V_y} \quad (3)$$

توجه به این نکته ضروری است که تراز مقاومت تسلیم به تراز ایجاد مکانیزم گسیختگی در سازه و یا فروریزش سازه اطلاق می‌شود و نه به تراز اولین تسلیم در سازه.

نشان داده است.^۷ و نیز با درنظر گرفتن الگوهای بارگذاری جانبی مختلف بر روی یک ساختمان پنج طبقه‌ی برشی با رفتار ارجاعی خمیری کامل نشان داده شد که انتخاب یک الگوی بارگذاری مناسب در طراحی می‌تواند از تعییرشکل و نرمی تحمل شده در زلزله بکاهد.^۸ از آنجایی که الگوی بارگذاری می‌تواند بر روی آرایش مفاصل خمیری تشکیل شده در سازه مؤثر باشد، لذا بر روی پاسخ‌های لرزه‌ی سازه از جمله ضریب رفتار نیز مؤثر خواهد بود. نتایج این امر نشان می‌دهد که استفاده از یک نوع الگوی بارگذاری جانبی در آین نامه‌های لرزه‌ی برای توزیع نیروی زلزله در ارتفاع سازه برای طراحی سیستم‌های سازه‌ی میانگین مختلف معيار مناسبی نیست. بنابراین، انتخاب الگوهای بارگذاری جانبی مناسب برای توزیع نیروی زلزله در ارتفاع سازه در طراحی سیستم‌های سازه‌ی میانگین مختلف با توجه به تأثیر آن بر روی ضریب رفتار و پارامترهای مؤثر بر آن (شکل پذیری و اضافه مقاومت) نقش مهمی در طراحی بهیمه و اقتصادی سازه دارد و موجب عملکرد بهتر سازه در برابر زلزله‌های شدید خواهد شد. این امر موجب شده است تا در این پژوهش از تأثیر این پارامتر (الگوی بارگذاری) بر روی ضریب رفتار سیستم قاب خمیری با شکل پذیری متوسط استفاده شود.

۲. کلیات روش پژوهش

در این پژوهش چند نمونه قاب خمیری فولادی با شکل پذیری متوسط با تعداد طبقات و دهانه‌های مختلف تحت هشت الگوی بارگذاری جانبی استاتیکی تحلیل و طراحی شده‌اند، لازم به ذکر است که طراحی‌ها براساس آین نامه‌ی ATSC-ASTC^۹ است.^{۱۰} و کلیه‌ی ضوابط مربوط به طراحی قاب خمیری فولادی با شکل پذیری متوسط ارزیابی شده است. ضمناً در انتخاب تیرها و ستون‌ها یک بار از مقاطع موجود در ایران (IPB و IPE) و بار دیگر از مقاطع امریکایی (w) استفاده شده است؛ تا ضمن مقایسه‌ی نمونه‌ها از نقطه‌نظر تأثیر الگوهای بارگذاری مختلف بر روی ضریب رفتار و پارامترهای مربوط به آن که هدف اصلی انجام این پژوهش است، مقایسه‌ی هم بر روی عوامل مختلف مؤثر بر روی این ضریب (از جمله: نوع و شکل مقاطع، ارتفاع سازه، تعداد دهانه‌ها به عنوان عامل نامعین در سازه) انجام شود. پس از طراحی نمونه‌ها تحت الگوهای بارگذاری جانبی مختلف، تحلیل استاتیکی غیرخطی (pushover) انجام شده است، و به منظور صحت و درستی نتایج بدست آمده از این تحلیل، نمونه‌ی از سازه‌ی طراحی شده طبق هر یک از الگوهای بارگذاری جانبی (الگوی بارگذاری جانبی آین نامه‌ی ۲۸۰۵۰)، تحت سه رکورد مختلف مورد تحلیل دینامیکی غیرخطی تاریخچه‌ی زمانی قرار گرفته است. در انتخاب شتاب‌نگاشت‌ها آنچه‌ای که سه پارامتر مهم یک شتاب‌نگاشت: محتوای سامدی، مدت زمان حرکت شدید، و بیشینه‌ی شتاب آن است سه شتاب‌نگاشت انتخابی آن‌ها بایند که از نظر محتوای سامدی بیانگر دامنه‌ی وسیعی از واقعیت‌های موجود تولید زلزله‌ها هستند (ناغان ۱۳۵۶، طبس ۱۳۵۷ و منجیل ۱۳۶۹). همچنین متوسط مقادیر بدست آمده از تحلیل‌های دینامیکی، معیار بررسی در این پژوهش قرار گرفته است.

۳. تعریف مؤلفه‌های ضریب رفتار

آین نامه‌های طراحی لرزه‌ی کنونی، نیروهای لرزه‌ی برای طراحی ارجاعی ساختمان را از یک طیف خطی که وابسته به زمان تناوب طبیعی ساختمان و شرایط خاک محل احداث ساختمان است، بدست می‌آورند و برای لحاظ کردن اثر رفتار غیرارجاعی

تحقیقات زیادی بر روی دو مؤلفه اصلی ضریب رفتار مخصوصاً ضریب کاهش شکل پذیری (R_{μ}) انجام شده است و در هر کدام از آنها روابط مختلفی بر حسب دوره‌ی تناوب اصلی سازه، میزانی، نوع خاک و شکل پذیری سازه ارائه شده است.^[۱۶-۱۷] در این پژوهش از روابط ناسارو کراوینکلر^[۱۸] برای تعیین ضریب کاهش شکل پذیری استفاده شده است:

$$R_{\mu} = [C(\mu - 1) + 1]^{\frac{1}{C}} \quad (10)$$

$$C(T, \alpha) = \frac{T^a}{1+T^a} + \frac{b}{T} \quad (11)$$

α در رابطه‌ی ۱۱، مقدار سخت‌شوندگی کرنشی است و مقدار a و b برای $\alpha = 7/3$ برابر $a = 0.36$ و $b = 0.975$ است.^[۱۹]

۳.۳. ضریب اضافه مقاومت (R_s)
مقاومت ذخیره‌ی که بین تراز واقعی تسليم سازه (V_y) و تراز اولین تسليم (V_s) وجود دارد، بر حسب ضریب اضافه مقاومت مطابق رابطه‌ی ۴ بیان می‌شود:

$$R_{s1} = \frac{V_y}{V_s} \quad (4)$$

اضافه مقاومت به دست آمده در رابطه‌ی ۴ عواملی نظری: اختلاف بین تنش اسمی جاری شدن و تنش واقعی جاری شدن، عدم اطمینان موجود در مدل‌های ریاضی و اثر المان‌های غیرسازه‌ی را در نظر نمی‌گیرد. به منظور درنظرگرفتن عوامل فوق، مقدار ضریب اضافه مقاومت به دست آمده از این روش را می‌توان با چند ضریب اصلاحی به ضریب اضافه مقاومت واقعی سازه تبدیل کرد:^[۲۰]

$$R_s = R_{s0} \cdot f_1 \cdot f_2 \cdot f_3 \dots \quad (5)$$

در این رابطه، f_1 اختلاف بین حد جاری شدن اسمی و حد جاری شدن واقعی سازه است که با توجه به مطالعه‌های آماری انجام شده بر روی سازه‌های فولادی مقادیر این ضریب را ۰.۵ در نظر گرفتند.^[۲۱] f_2 افزایش تنش جاری شدن در اثر افزایش نزدیکی کرنش در موقع زلزله است که مقادیر این ضریب برای سازه‌های فولادی ۰.۱ در نظر گرفته شده است.^[۲۲] در این پژوهش نیز همین مقادیر برای این ضرایب انتخاب شده است. بقیه مقادیر f زمانی که اطلاعات قابل اعتمادی در مورد آنها وجود داشته باشد، استفاده می‌شوند. در غیرین صورت عدد ۱ را می‌توان برای آن در نظر گرفت.

۴.۳. ضریب تنش مجاز (۷)

این ضریب برای درنظرگرفتن اختلاف در الگوی طراحی در آئینه‌های مختلف استفاده می‌شود. برای طراحی براساس تنش مجاز، تراز مربوط به نیروی طراحی (V_W) کوچکتر از تراز اولین تسليم قابل توجه (V_s) است که نسبت تراز بین اولین تسليم به نیروی طراحی با ضریب تنش مجاز بیان می‌شود (رابطه‌ی ۶):

$$\gamma = \frac{V_s}{V_W} \quad (6)$$

۵.۳. ظرفیت جانبی سازه (R_{ss})

اضافه مقاومت ذخیره‌شده در سازه از تراز نیروی طراحی تا تراز نیروی تسليم سازه را ظرفیت جانبی سازه می‌گویند که از رابطه‌ی ۷ به دست می‌آید:

$$R_{ss} = \frac{V_y}{V_W} = \frac{V_y}{V_s} \times \frac{V_s}{V_W} = R_{s1} \times \gamma \quad (7)$$

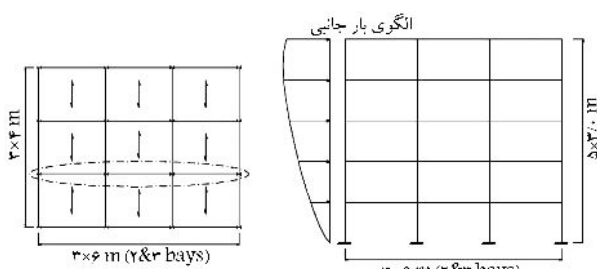
۶.۳. تعیین ضریب رفتار (R_W یا R)

با توجه به شکل ۱، ضریب رفتار مطابق با روش طراحی براساس مقاومت (حد نهایی) را می‌توان به صورت رابطه‌ی ۸ تعیین کرد:

$$R = \frac{V_e}{V_s} = \frac{V_e}{V_y} \cdot \frac{V_y}{V_s} = R_{\mu} \times R_{s1} \quad (8)$$

و ضریب رفتار مطابق با روش طراحی براساس تنش مجاز (استاندارد ۲۸۰۰ ایران) را می‌توان به صورت رابطه‌ی ۹ تعیین کرد:

$$R_W = R_{\mu} \cdot R_{s1} \cdot \gamma = R_{\mu} \times R_{ss} \quad (9)$$



شکل ۲. پلان سازه و جهت بارگذاری ثقلی و جانبی.

جدول ۱. مشخصات لرزه‌یی شتاب‌نگاشتها.

PGA (cm/s ²)	خاک	مدت (s)	شماره رکورد	R (Km)	M	سال	ایستگاه
۸۴,۶	نوع ۳	۲۳,۳	۱۰۸۴	۵۵	۶,۴	۱۹۷۸	طبس
۸۷,۲	نوع ۳	۴۶,۲	۱۰۵۴	۵,۶	۶,۱	۱۹۷۷	ناغان
۴۱	نوع ۳	۲۲,۳	۳۴۶۱	۱۷۶	۶,۲	۱۹۹۰	منجیل

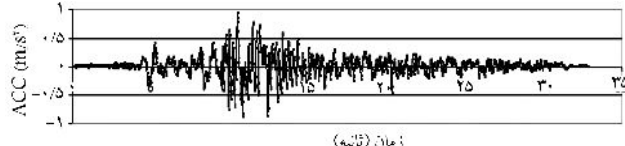
۵. الگوی بارگذاری سهموی دو ($k = 1 + ۰,۸T$)

۶. الگوی بارگذاری آینین نامه‌ی ۲۸۰۰ که به دلیل وجود بار شلاقی با الگوی نوع ۲ می‌تواند متفاوت باشد.

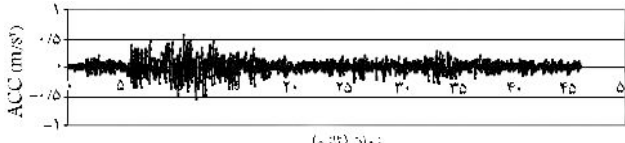
۷. الگوی بارگذاری آینین نامه‌ی ۹۴-۹۴. این الگو از نوع الگوهای سهموی است که با قراردادن k از رابطه‌ی ۱۳ در رابطه‌ی ۱۲ به دست می‌آید.

$$k = \begin{cases} 1 & T \leq 0,5 \\ 0,75 + 0,5T & 0,5 \leq T < 2,5 \\ 2 & T \geq 2,5 \end{cases} \quad (13)$$

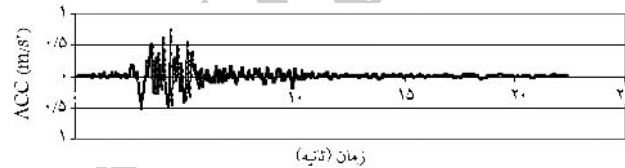
۸. الگوی بارگذاری مستطیلی اصلاح شده. در این الگویی بار متغیر $V = ۰,۵T$ در تراز بام و بقیه‌ی بار یعنی $V = ۰,۵T$ با توزیع مستطیلی در ارتفاع سازه توزیع می‌شود.



شکل ۳. منحنی شتاب-زمان زلزله‌ی طبس.



شکل ۴. منحنی شتاب-زمان زلزله‌ی منجیل.



شکل ۵. منحنی شتاب-زمان زلزله‌ی ناغان.

۳.۴. مشخصات زلزله‌های منتخب

به دلیل این‌که اثر نوع حرکت زمین نیز در رفتار سازه‌ها مظور شود، و همچنین بنا به دلایلی که در روش پژوهش عنوان شد، در تجزیه و تحلیل نمونه‌ها از داده‌های شتاب‌نگاشت ۳ زلزله با زمان‌های تداوم و محتوای بسامد متفاوت بهترین ترتیب ناغان ۱۳۵۶، طبس ۱۳۵۷، و منجیل ۱۳۶۹، که مشخصات آن‌ها در جدول ۱ و شکل‌های ۳ تا ۵ نشان داده شده، استفاده شده است.

۴. بارهای جانبی

در بسیاری از آینین نامه‌ها توزیع بار جانبی در ارتفاع سازه به صورت رابطه‌ی ۱۲ است:

$$F_i = \frac{W_i h_i^k}{\sum_{j=1}^N W_j h_j^k} V \quad (14)$$

که در آن، W_i و h_i به ترتیب عبارت‌اند از: وزن و ارتفاع طبقه‌ی i م در بالای کف سازه، N تعداد طبقات؛ و k توانی که تقاضت آینین نامه‌های لرزه‌یی را در توزیع بارگذاری نشان می‌دهد. در این پژوهش الگوهای بارگذاری جانبی مورداستفاده با تغییر مقدار k از رابطه‌ی ۱۲ به‌این صورت به دست خواهد آمد:

۱. الگوی بارگذاری مستطیلی ($k = 0$)

۲. الگوی بارگذاری مثلثی ($k = 1$)

۳. الگوی بارگذاری مثلثی-مستطیلی ($k = ۰,۵ + ۰,۵T$)

۴. الگوی بارگذاری سهموی یک ($k = ۱ + ۰,۴T$)

سپس در ادامه با داشتن نمودار منحنی ظرفیت سازه مشابه شکل ۱ که از انجام تحلیل‌های استاتیکی غیرخطی حاصل شده است، می‌توان کلیه‌ی پاسخ‌های لرزه‌یی سازه‌یی مربوط به این پژوهش را از آن استخراج کرد.

جدول ۳. نتایج ضریب رفتار مثال فوق.

تعداد طبقه	R_w	γ	R_{s1}	R_s	R_μ	μ	بارگذاری
مثلثی ($K=1$)	۸	۱/۷	۱,۷۰۳	۱,۳۰۷	۱,۷۳	۱,۵۱	۴,۴۵

جدول ۴. خلاصه‌ی نتایج آنالیز استاتیکی غیرخطی سازه‌ی هشت طبقه با سه دهانه و مقاطع ایرانی تحت الگوهای بارگذاری جانبی مختلف.

ضریب رفتار و پارامترهای مربوط به سازه‌ی هشت طبقه با سه دهانه با مقاطع امریکایی						
R_w	γ	R_μ	μ	R_{s1}	R_s	الگوهای بارگذاری جانبی
۳,۶	۱,۵۹۵	۱,۷۳۶	۱,۷۱	۱,۳	۱/۱۲	مثلثی
۳,۸۳	۱,۵۸۸	۱,۸	۱,۷۵	۱,۳۴	۱/۱۶	مثلثی-مستطیلی
۳,۶۲	۱,۵۸۲	۱,۷۶	۱,۷۳	۱/۳	۱/۱۲	مستطیلی اصلاح شده
۳,۵۹	۱,۵۶	۱,۷۶	۱,۷۳	۱/۳۱	۱/۱۴	سهموی نوع ۱
۳,۷۲	۱,۵۷	۱,۸۱	۱,۷۸	۱/۳۱	۱/۱۴	سهموی نوع ۲
۳,۵۴	۱,۶۷	۱,۶۳	۱/۶	۱/۳	۱/۱۱	مستطیلی
۳,۵	۱,۵۴۴	۱,۷۳	۱,۷۰۵	۱/۳۱	۱/۱۴	آینه‌نامه‌ی نزپ (Nehrp-۹۴)
۳,۵۳	۱,۴۹۱	۱,۷۸	۱,۷۴	۱/۳۳	۱/۱۵	آینه‌نامه‌ی ۲۸۰۰

با توجه به نتایج جدول ۲ که از تحلیل غیرخطی به دست آمده است، پارامترهای مربوط به ضریب رفتار با استفاده از روابط ۱ تا ۱۱ که در متن تعریف شده است، به دست آمده و نتایج در جدول ۳ به طور کامل ارائه شده است.

آن‌گونه‌که مشاهده می‌شود با انتخاب ضریب رفتار سازه برای عدد ۷، ضریب رفتار محاسبه شده برای ۴/۴۵ محاسبه می‌شود، لذا ضریب رفتار انتخاب شده با ضریب رفتار اولیه سازه فاصله دارد. درنهایت برای سازه‌ی مزبور با تغییر و انتخاب ضریب رفتار از ۷ به ۴/۴۵ تحلیل و طراحی به طور مجدد صورت گرفته و به دنبال آن تحلیل غیرخطی نیز انجام شده است. عملیات مذکور تا هم‌گرایی جواب‌ها که در اینجا ضریب رفتار سازه است، ادامه پیدا می‌کند. برای قاب هشت طبقه با سه دهانه‌ی طراحی شده با مقاطع ایرانی تحت الگوی بارگذاری مثلثی ($K = 1$) پس از پنج بار تحلیل و طراحی خطا، تحلیل غیرخطی، و کنسل نتایج، هم‌گرایی اتفاق افتاده و نتیجه‌ی نهایی مقدار ضریب رفتار هم‌گرا شده در جدول ۴ آمده است، این روند برای کلیه الگوهای بارگذاری جانبی و برای هر دو نوع مقاطع به کار گرفته شده در طراحی (ایرانی و امریکایی) یکسان بوده است و با توجه به زیاد بودن تحلیل‌های غیرخطی از ذکر جزئیات کار صرف نظر و در ادامه به نتایج کلی تجزیه و تحلیل پرداخته شده است.

۸. خلاصه‌ی نتایج آنالیز استاتیکی غیرخطی برای نمونه‌های طراحی شده با مقاطع ایرانی تحت الگوهای بارگذاری جانبی

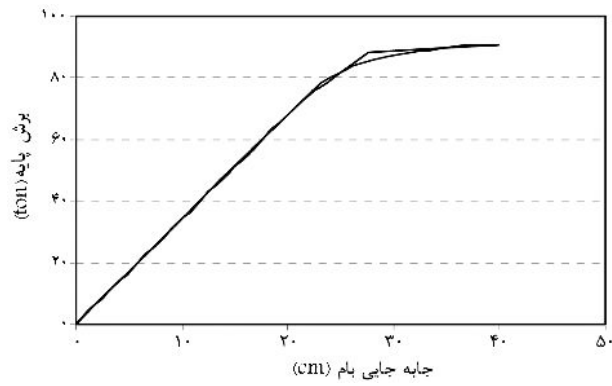
با توجه به مثال عنوان شده، نتایج تحلیل قاب هشت طبقه با سه دهانه‌ی طراحی شده با مقاطع ایرانی تحت الگوهای بارگذاری جانبی مختلف به طور کامل تشریح شده

۶. هم‌گراییدن نمونه‌ها

نمونه‌ها بعد از طراحی قاب‌های مورد بررسی، تحت اثر بارهای جانبی مورد تحلیل استاتیکی غیرخطی واقع شدند. با توجه به نتایج تحلیل غیرخطی و دستیابی به منحنی (برش پایه - تغییر مکان)، مشخصات سازه از قبیل شکل‌بندی و اضافه مقاومت سازه تعیین و براساس آن ضریب رفتار سازه به دست آمد. مقدار به دست آمده با ضریب رفتار اولیه سازه مقایسه و در صورت وجود خطای هم‌گرایی بیشتر از ۳٪، سازه مجدداً براساس ضریب رفتار به دست آمده تحلیل، طراحی، و مورد ارزیابی غیرخطی واقع شد، این‌کار تا جایی ادامه یافت که ضریب رفتار به دست آمده در محدوده‌ی غیرخطی با ضریب رفتار موجود در طراحی سازه هم‌گرا شود.

۷. مثال نمونه

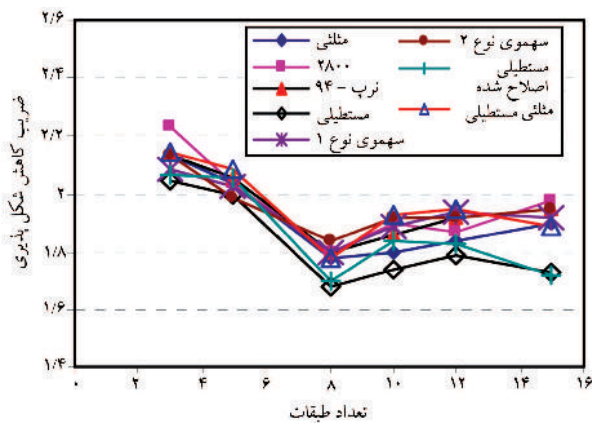
مدل‌های مورد بررسی در این پژوهش شامل قاب‌های با تعداد طبقات ۳، ۵، ۸، ۱۰، ۱۲ و ۱۵ طبقه‌اند که در این قسمت فقط جزئیات مربوط به قاب ۸ طبقه بیان می‌شود، اما درنهایت نتایج به دست آمده برای کلیه قاب‌ها ارائه می‌شود. مثلاً سازه‌ی هشت طبقه با سه دهانه‌ی طراحی شده با مقاطع ایرانی تحت الگوی بارگذاری جانبی مثلثی ($k = 1$) با ضریب رفتار اولیه ($R = 7$) طراحی شد و مورد تحلیل استاتیکی غیرخطی قرار گرفت، و برای دستیابی به ضریب رفتار سازه منحنی برش پایه‌ی آن در شکل ۶ آمده است. که در آن با توجه به شکل، برای دستیابی به نقطه‌ی تسليم کلی سازه از نمودار دوخطی شده‌ی ایده‌آل سازه (ظرفیت جذب افزایی یکسان) استفاده شده است و نتایج آن در جدول ۲ آمده است.



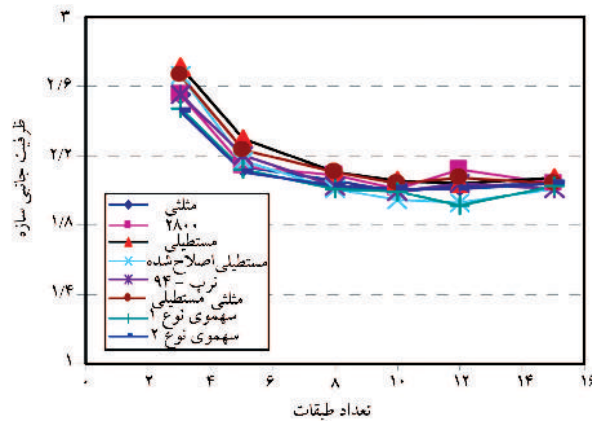
شکل ۶. نمودار دوخطی ایده‌آل سازی شده‌ی منحنی برش پایه - تغییر مکان سازه و $R = 7$.

جدول ۲. نقاط کلیدی سازه‌ی هشت طبقه با سه دهانه‌ی طراحی شده با مقاطع ایرانی و $R = 7$.

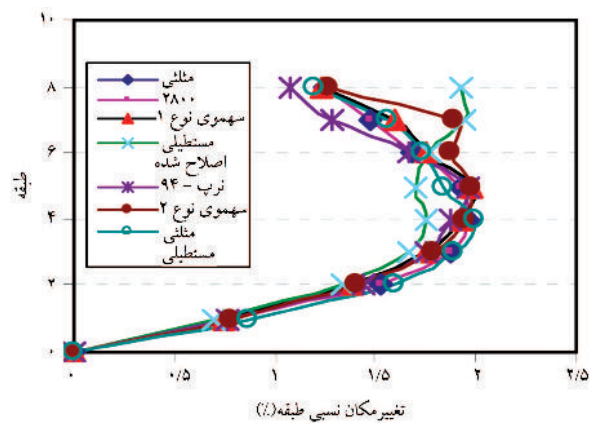
تحلیل خطی $R = 7$		اولین مفصل خمیری		نقطه‌ی تسليم کلی سازه		نقطه‌ی تغییر مکان هدف	
V_d (ton)	Δ_d (cm)	V_s (ton)	Δ_s (cm)	V_y (ton)	Δ_y (cm)	V_e (ton)	Δ_e (cm)
۳۹,۲	۹,۶۴	۶۶,۷	۱۹,۲	۸۷,۲	۲۴,۵	۹۱,۷	۴۱,۶۲



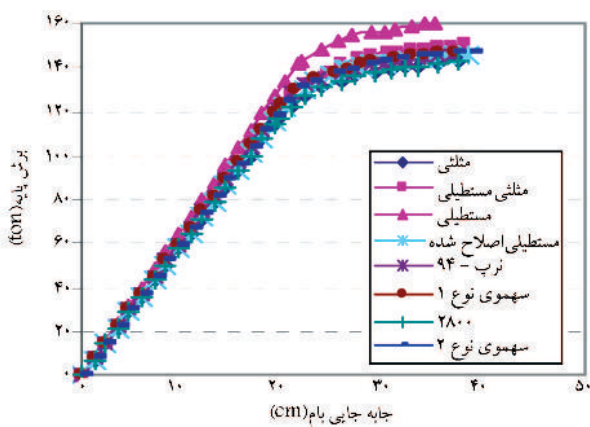
شکل ۹. نمودار مقایسه‌بی ضریب کاهش شکل پذیری با افزایش ارتفاع تحت الگوهای بارگذاری.



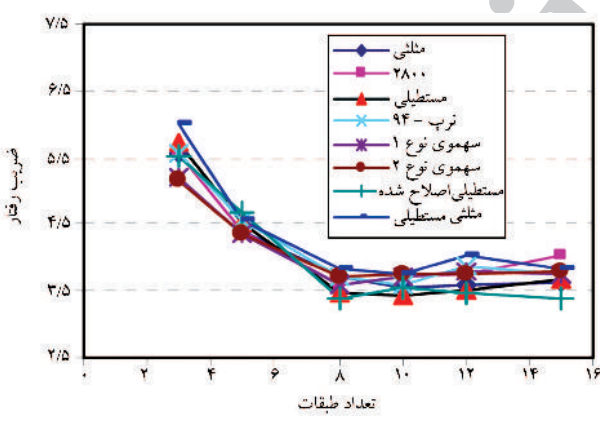
شکل ۱۰. نمودار مقایسه‌بی ظرفیت جانبی سازه با افزایش ارتفاع تحت الگوهای بارگذاری جانبي مختلف.



شکل ۷. منحنی تغییرمکان نسبی طبقات تحت الگوهای بارگذاری جانبی مختلف.



شکل ۸. منحنی برش پایه تغییرمکان بام سازه تحت الگوهای بارگذاری جانبی مختلف.



شکل ۱۱. مقایسه‌ی تغییرات ضریب رفتار با افزایش ارتفاع تحت الگوهای بارگذاری جانبی مختلف.

نیز صادق است. همچنین از ذکر جزئیات نتایج آنالیز مربوط به سازه‌های دو دهانه طراحی شده با مقاطع ایرانی تحت الگوهای بارگذاری جانبی مختلف، با توجه به نتایج مشابه آن‌ها با نمونه‌های سدهانه صرف‌نظر و فقط به مقایسه‌ی متوسط مقادیر ضریب رفتار آن‌ها با یکدیگر در شکل ۱۲ پرداخته شده است.

نتایج نشان می‌دهد که در نظرگرفتن تعداد دهانه‌ها تأثیر ناچیزی بر روی ضریب

است. شکل‌های ۷ و ۸ به ترتیب برش پایه تغییرمکان بام و تغییرمکان نسبی طبقات

ساختمان ۸ طبقه را تحت الگوهای مختلف بار جانبی نشان می‌دهد. چنان‌که در

شکل ۷ مشخص است، سازه تا حدی پوش داده می‌شود که بیشینه‌ی تغییرمکان

نسبی طبقه مطابق آین نامه به ۰.۲٪ محدود شود.

بعد از دو خطی کردن منحنی برش پایه تغییرمکان، می‌توان پارامترهای مربوط

به محاسبه‌ی ضریب رفتار را بدست آورد. نتایج مربوط به آنالیز در جدول ۴ آورده شده است. سپس در ادامه، نتایج مربوط به تمامی نمونه‌ها در شکل‌های ۹ تا ۱۱

به طور کامل تشریح شده است.

با توجه به شکل ۹، ضریب کاهش شکل پذیری سازه با افزایش تعداد طبقات

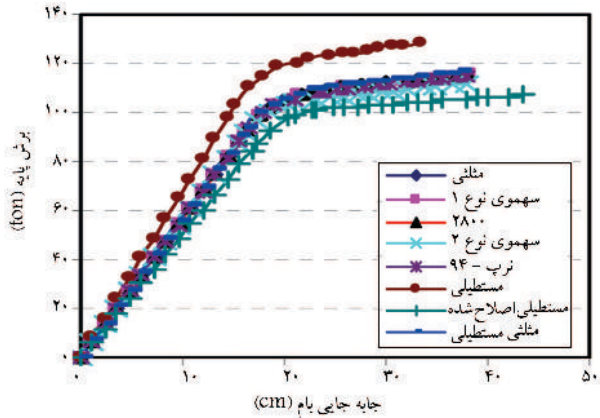
برای کلیه‌ی الگوهای بارگذاری جانبی کاهش می‌یابد. همچنین چنان‌که در شکل ۱۰ مشاهده می‌شود، ظرفیت سازه در ساختمان‌های کوتاه (۳ و ۵ طبقه) کاملاً

چشم‌گیر بوده است و با افزایش ارتفاع سازه مقدار این ضریب کاهش می‌یابد. دلیل این کاهش حاکم بودن نیروهای ثقلی در طراحی است. ظرفیت سازه، در واقع مقدار مقاومتی است که در اثر عوامل مختلف در سازه ذخیره می‌شود و اندام سازه را به تأخیر می‌اندازد. در یک مطالعه‌ی تحقیقاتی نشان داده شده است که پایداری

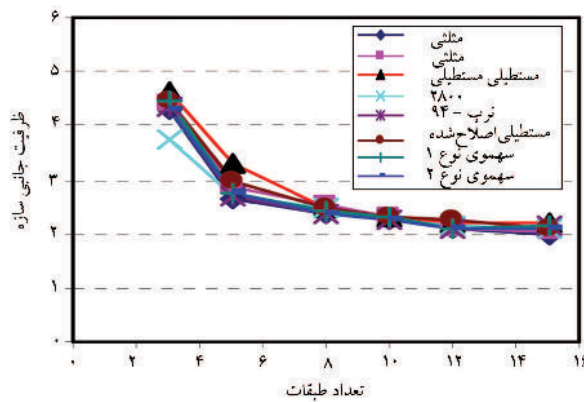
ساختمان‌ها (مخصوصاً ساختمان‌های کوتاه) به این عامل بستگی دارد.^[۱۶]

با توجه به شکل‌های ۹ و ۱۰ نشان داده شده که مؤلفه‌های ضریب رفتار (ضریب کاهش شکل پذیری و اضافه مقاومت سازه‌ی)، با افزایش تعداد طبقات سازه

تاثیر نافرمانی دارد که در نتیجه در مورد ضریب رفتار سازه با توجه به شکل ۱۱



شکل ۱۴. منحنی برش پایه - تغییر مکان یام سازه تحت الگوهای بارگذاری مختلف.

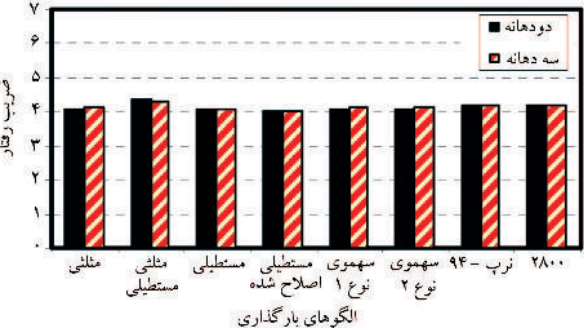


شکل ۱۵. نمودار مقایسه‌بی ظرفیت جانبی سازه‌های طراحی شده با مقاطع امریکایی.

جدول ۵. خلاصه‌ی نتایج آنالیز استاتیکی غیرخطی سازه‌ی هشت طبقه با سه دهانه‌ی طراحی شده با مقاطع امریکایی.

مقاطع امریکایی						
R_w	γ	R_μ	μ	R_{s1}	R_s	الگوهای بارگذاری جانبی
5,28	1,91	2,16	2,072	1,28	1,148	مثبت
5,22	1,87	2,11	2,06	1,32	1,143	مثبت - مستطیلی
5,9	1,92	2,236	2,26	1,317	1,141	مستطیلی اصلاح شده
5,27	1,86	2,154	2,096	1,316	1,14	سهموی نوع 1
5,15	1,83	2,165	2,106	1,3	1,127	سهموی نوع 2
5	1,89	2,02	1,975	1,31	1,134	مستطیلی
5,23	1,9	2,14	2,08	1,29	1,112	آین نامه‌ی نرپ (NEHRP-94)
5,22	1,836	2,138	2,085	1,33	1,15	آین نامه‌ی 2800

تغییر در تعداد دهانه، به مقایسه‌ی متوسط مقادیر ضریب رفتار به دست آمده از سازه‌های طراحی شده با مقاطع امریکایی با توجه به شکل ۱۶ کاهش شده است. نتایج نشان می‌دهد که افزایش تعداد دهانه در سیستم‌های طراحی شده با مقاطع امریکایی تأثیر ناچیزی بر روی ضریب رفتار دارد، به طوری که می‌توان از مقدار آن صرف نظر کرد.



شکل ۱۶. مقایسه‌ی متوسط ضریب رفتار به دست آمده برای سازه‌های دو و سه دهانه.

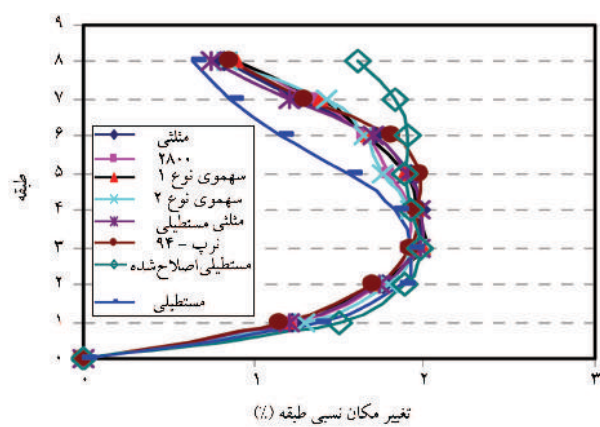
رفتار دارد، به طوری که می‌توان از مقدار آن صرف نظر کرد. صحبت و درستی نتایج فوق در سیستم قاب خمسی نیز قابل مشاهده است.^[۲۰]

۹. خلاصه‌ی نتایج آنالیز استاتیکی غیرخطی برای نمونه‌های طراحی شده با مقاطع امریکایی تحت الگوهای بارگذاری جانبی مختلف

در این بخش، نتایج آنالیز سازه‌های طراحی شده با مقاطع امریکایی ارائه می‌شود، بدین صورت که نتایج تحلیل نمونه‌ی قاب هشت طبقه با سه دهانه‌ی طراحی شده با مقاطع امریکایی تحت تمامی الگوهای بارگذاری جانبی مختلف را به طور کامل در شکل‌های ۱۳ و ۱۴ و در جدول ۵ آورده و در ادامه نتایج مربوط به کل آنالیز در شکل‌های ۱۴ تا ۱۸ نشان داده است.

با توجه به شکل‌های ۱۵ و ۱۶ اضافه مقاومت و شکل‌بندی سازه‌های طراحی شده با مقاطع امریکایی تحت الگوهای بارگذاری جانبی مختلف با افزایش ارتفاع سازه کاهش یافته است. همچنین با توجه به نمودار اضافه مقاومت سازه اثر آن در ساختمنهای کوتاه به دلیل حاکم بودن نیروهای ثقلی در طراحی چشم‌گیر است.

با توجه به کاهش اضافه مقاومت و شکل‌بندی سازه‌های طراحی شده با مقاطع امریکایی با افزایش تعداد طبقات سازه ضریب رفتار سازه نیز تحت الگوهای بارگذاری جانبی مختلف با توجه به شکل ۱۷ کاهش یافته است. ضمناً به منظور تأثیر درجهی نامعینی به صورت افزایش تعداد دهانه‌ها و همچنین پرهیز از تکرار نتایج مشابه به دلیل



شکل ۱۷. منحنی تغییر مکان نسبی طبقات تحت الگوهای بارگذاری مختلف.

دینامیکی غیرخطی تاریخچه‌ی زمانی تحت سه شتاب‌نگاشت (طبیس، ناغان و منجیل)، قرار می‌گیرد. ضریب مقایس شتاب‌نگاشت‌های مورداستفاده در این تحلیل هر کدام به طور مجزا با یک روند سعی و خطاب انجام تحلیل دینامیکی غیرخطی بر روی نمونه‌های موردنظر ترا جایی ادامه می‌یابد که معیارگسیختگی با تغییر مکان هدف در این تحقیق (کنترل تغییر مکان نسبی طبقات مطابق با آئین نامه‌ی ۲۸۰۰) تحقق پذیرد، آنگاه با داشتن ضریب مقایس به دست آمده برای هر کدام از شتاب‌نگاشت‌ها، سازه مورد تحلیل دینامیکی خطی و غیرخطی قرار می‌گیرد و بیشینه‌ی برش پایه‌ی ارتقای و غیرتجاعی به دست آمده از آن به عنوان برش پایه‌ی خطی (V_e) و برش پایه‌ی غیرخطی (V_u) در نظر گرفته می‌شود، که معیار اصلی تعیین ضریب رفتار و پارامترهای مؤثر مربوط به آن است.^[۲]

۱۱. نتایج تحلیل دینامیکی غیرخطی بر روی نمونه‌های طراحی شده با مقاطع ایرانی و امریکایی

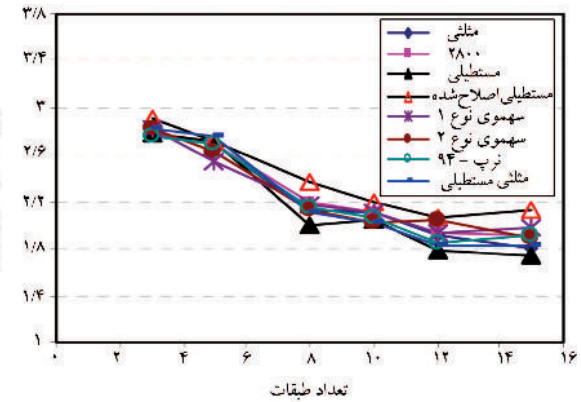
خلاصه‌ی گزارش پاسخ‌های لرزه‌ی قاب هشت طبقه‌ی طراحی شده با مقاطع ایرانی و امریکایی تحت سه رکورد زلزله‌ی موردنظر به عنوان نمونه‌ی نتایج تحلیل این بخش در جدول ۶ آمده و نتایج آنالیزهای دینامیکی غیرخطی مربوط به کلیه‌ی نمونه‌ها در شکل‌های ۱۹ تا ۲۳ آورده شده است.

چنان‌که می‌دانیم به دلیل متفاوت بودن شدت، مدت و محتوای سامدهای زلزله‌های مختلف، اثر آن‌ها در پاسخ دینامیکی سازه متفاوت خواهد بود. این موضوع به خوبی با توجه به نتایج به دست آمده حاصل از سه رکورد مورداستفاده در آنالیز تأیید می‌شود. با توجه به شکل‌های ۱۹ و ۲۰ نتایج نشان می‌دهند که مؤلفه‌های ضریب رفتار (اضافه مقاومت و شکل‌پذیری سازه) ماهیتاً هم وابسته به ویژگی‌های سازه و هم وابسته به ویژگی‌های رکورد زلزله است، در حالی که در نتیجه‌گیری‌های نهایی فقط از دیدگاه پارامترهای سازه‌ی مورد بررسی قرار گرفت. همچنین با توجه به شکل ۱۹، شکل‌پذیری سیستم‌های طراحی شده با مقاطع امریکایی در تمامی ارتفاعات مختلف سازه بیشتر از سیستم‌های طراحی شده با مقاطع ایرانی بوده است و این نتیجه در مورد تحلیل‌های استاتیکی غیرخطی در مورد تمام حالت‌های بارگذاری جانبی نیز کاملاً صادق است. دلیل این امر را می‌توان از روند تشکیل مفاصل خمیری بر روی نمونه‌ی

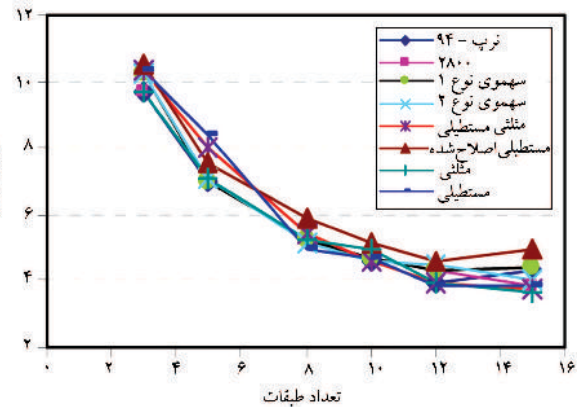
جدول ۶. نتایج آنالیز دینامیکی سازه‌ی هشت طبقه با مقاطع ایرانی و امریکایی (با معیار تغییر مکان نسبی طبقه).

سیستم ۸ طبقه با مقاطع ایرانی							REC
R	R _s	R _μ	V _s (ton)	V _e (ton)	V _y (ton)	P.R.A	REC
۲,۵۳	۲,۰۵	۱,۲۴	۳۷,۶	۹۵,۲۵	۷۷,۱۴	۰,۴۱۸g	ناغان
۳,۸۶	۲,۴۷	۱,۵۶۳	۳۷,۶	۱۴۳,۶	۹۱,۹	۰,۶۲g	طبیس
۳,۴۰۶	۲,۲۶	۱,۵۰۴	۳۷,۶	۱۲۶,۸	۸۴,۵	۰,۴۵۹g	منجیل

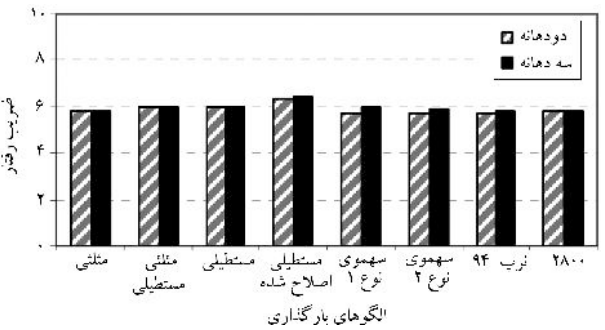
سیستم ۸ طبقه با مقاطع امریکایی							REC
R	R _s	R _μ	V _s (ton)	V _e (ton)	V _y (ton)	P.R.A	REC
۳,۷۳	۲,۰۷	۱,۴۵	۳۷,۶	۱۴۰,۳	۹۶,۸	۰,۵۶g	ناغان
۶,۳۳	۲,۷۱	۲,۳۳۵	۳۸,۶	۲۳۸	۱۰۱,۹	۰,۶۸g	طبیس
۴,۳۴	۲,۷۹	۱,۰۶	۳۷,۶	۱۶۳,۳	۱۰۵	۰,۷۴۶g	منجیل



شکل ۱۶. نمودار مقایسه‌ی ضریب کاهش شکل‌پذیری سازه‌های طراحی شده با مقاطع امریکایی.



شکل ۱۷. مقایسه‌ی ضریب رفتار سازه‌های طراحی شده با مقاطع امریکایی تحت الگوهای بارگذاری جانبی مختلف.

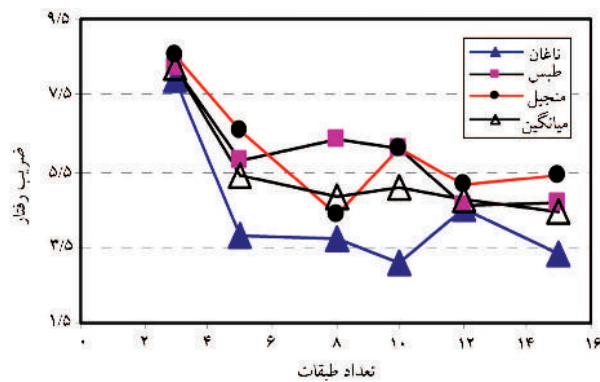


شکل ۱۸. مقایسه‌ی متوسط مقادیر ضریب رفتار نمونه‌های دو و سه دهانه‌ی طراحی شده با مقاطع امریکایی.

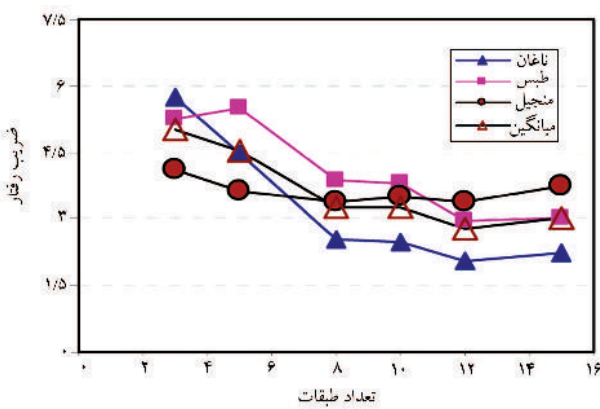
همچنین نتایج نشان می‌دهد که ضریب رفتار به دست آمده تحت الگوی بارگذاری مستطیلی اصلاح شده مقادیر بیشتری نسبت به سایر الگوها از خود نشان داده است.

۱۰. تحلیل دینامیکی غیرخطی قاب‌ها

در این بخش برای بررسی رفتار واقعی قاب‌ها و نیز تعیین صحت و دقیقت استفاده از تحلیل استاتیکی غیرخطی در بررسی نتایج، سازه‌های طراحی شده با مقاطع ایرانی و امریکایی تحت الگوی بارگذاری جانبی آئین نامه‌ی ۲۸۰۰، مورد ارزیابی تحلیل



شکل ۲۲. نمودار مقایسه‌بی ضریب رفتار دینامیکی سازه‌های طراحی شده با مقاطع امریکایی تحت رکوردهای مختلف.



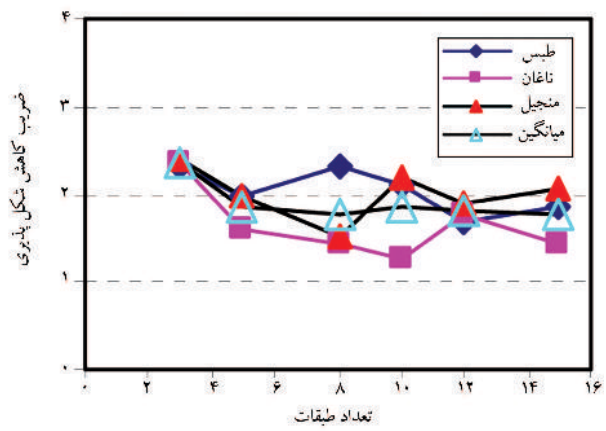
شکل ۲۳. نمودار مقایسه‌بی ضریب رفتار دینامیکی سازه‌های طراحی شده با مقاطع ایرانی تحت رکوردهای مختلف.

از سیستم طراحی شده با مقاطع ایرانی و امریکایی تحت رکورد طبس در شکل ۲۱ نشان داد. با توجه به آن در نظرگرفتن معیار کنترل تغییرمکان نسبی طبقه به عنوان معیار تغییرمکان هدف در این پژوهش نشان می‌دهد که مفاصل خمیری بیشتری در سیستم‌های طراحی شده با مقاطع امریکایی تشکیل شده است؛ این موضوع بیانگر بالا بودن سطح اتفاق انرژی در سازه است و با تعداد مفاصل خمیری تشکیل شده در هنگام مکانیزم نهایی ارتباط مستقیم دارد؛ به طوری که هرچه تعداد مفاصل خمیری بیشتر باشد، سطح اتفاق انرژی در سازه بالاتر و شکل‌پذیری بیشتر خواهد بود.

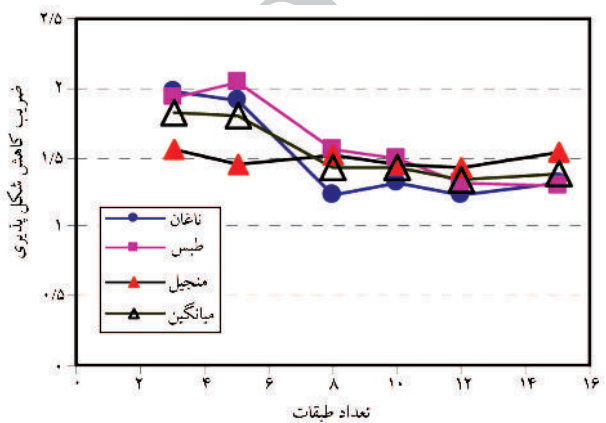
با توجه به کاهش شکل‌پذیری سازه با افزایش ارتفاع برای هر دو نوع نمونه طراحی شده با مقاطع ایرانی و امریکایی تحت آثالیزهای دینامیکی غیرخطی، نتایج این امر در مورد ضریب رفتار سازه نیز صادق است که با توجه به شکل‌های ۲۲ و ۲۳، کاهش ضریب رفتار سازه با افزایش ارتفاع نشان داده شده است.

۱۲. مقایسه‌ی نتایج تحلیل‌های غیرخطی استاتیکی و دینامیکی

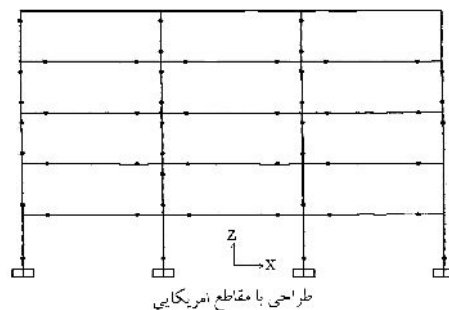
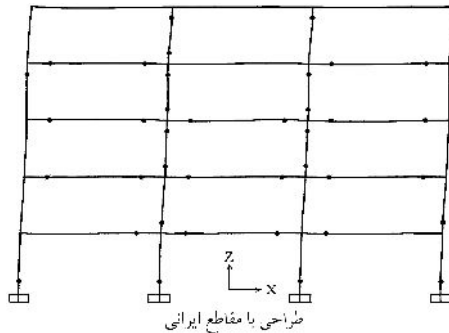
در شکل ۲۴، متوسط نتایج شکل‌پذیری، اضافه مقاومت و ضریب رفتار سازه‌های طراحی شده با مقاطع ایرانی و امریکایی تحت الگوهای بارگذاری مختلف نشان داده شده است. نتایج نشان می‌دهد که مقادیر بدست آمده از تحلیل‌های دینامیکی غیرخطی نمونه‌ها، گویای صحبت و درستی نتایج بدست آمده از تحلیل‌های استاتیکی



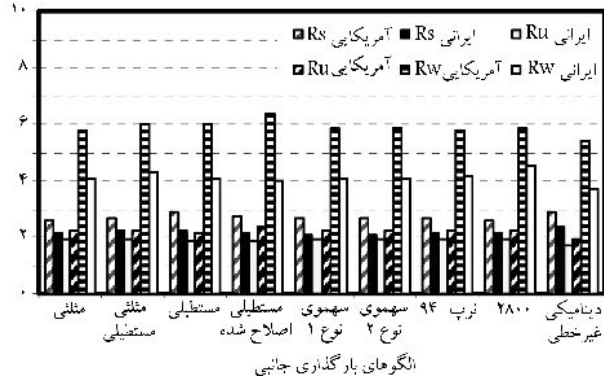
شکل ۱۹. نمودار مقایسه‌بی ضریب کاهش شکل‌پذیری دینامیکی سازه‌های طراحی شده با مقاطع امریکایی.



شکل ۲۰. نمودار مقایسه‌بی ضریب کاهش شکل‌پذیری دینامیکی سازه‌های طراحی شده با مقاطع ایرانی.



شکل ۲۱. تشکیل مفاصل خمیری تحت رکورد طبس.



شکل ۲۴. نمودار مقایسه‌ی تحلیل‌های استاتیکی و دینامیکی غیرخطی سازه‌های طراحی شده با مقاطع ایرانی و امریکایی.

به تغییر مکان نسبی طبقات برای دو نوع سازه‌ی طراحی شده با مقاطع ایرانی و امریکایی نشان داده شده است.

۲. در حالت کلی با صرف نظر از برخی نتایج می‌توان گفت متوسط مقادیر ضربه رفتار به دست آمده تحت الگوهای بارگذاری جانبی مختلف کمتر از مقادیر آئین‌نامه‌ی توصیه شده ($R = 7$) است. ضمناً نتایج نشان می‌دهد که سازه‌های طراحی شده با مقاطع امریکایی (w) دارای ضربه رفتار بیشتری نسبت به مقاطع ایرانی (TPB) هستند. به خوبی مشاهده می‌شود که علت عدمی این تقاضوت مؤلفه شکل‌پذیری ضربه رفتار است. بنابراین، با یک نگاه کلی می‌توان سیستم‌های طراحی شده با مقاطع امریکایی را شکل‌پذیر از روند تشکیل طراحی شده با مقاطع ایرانی دانست. این موضوع را می‌توان از روند تشکیل مفاصل خمیری در قاب‌ها نیز مشاهده کرد. در قاب‌های طراحی شده با مقاطع امریکایی، مکانیزم نهایی در حالت درنظرگرفتن معیار کنترل تغییر مکان نسبی طبقه عدماً با تعداد مفاصل خمیری بیشتری صورت گرفته است، که این موضوع مؤید بالاترین سطح اتفاق از زی در این نوع سیستم‌هاست.

۳. به طور کلی با افزایش ارتفاع سازه مقادیر شکل‌پذیری و ضربه رفتار به دست آمده برای سیستم‌های طراحی شده با مقاطع ایرانی و امریکایی کاهش می‌یابد که این امر عدم تطبیق آن را با مقادیر ثابت آئین‌نامه‌ی نشان می‌دهد.

۴. شکل‌پذیری سیستم‌های طراحی شده با مقاطع ایرانی، تحت الگوهای بارگذاری مختلف در حدود ۷۵-۶۵٪ سیستم‌های طراحی شده با مقاطع امریکایی است.

۵. ضربه رفتار سیستم‌های طراحی شده با مقاطع ایرانی، تحت الگوهای بارگذاری مختلف در حدود ۸۳-۷۸٪ سیستم‌های طراحی شده با مقاطع امریکایی است.

۶. اگر در ستون‌های قاب خمی مفصل خمیری ایجاد نگردد می‌تواند توزیع شکل‌پذیری را در طبقات مناسب‌تر کند و از طرف دیگر با اضافه شدن اضافة مقاومت و شکل‌پذیری قاب، رفتار آن در زلزله مناسب‌تر می‌شود.

۷. به طور کلی در نظرگرفتن یک الگوی بارگذاری جانبی آئین‌نامه‌ی در طراحی سیستم‌های سازه‌ی مختلف و اعمال یک ضربه به عنوان ضربه رفتار برای هر نوع سیستم سازه‌ی بدون توجه به مقادیر اضافه مقاومت و شکل‌پذیری آن نمی‌تواند تضمین‌کننده‌ی پایداری آن تحت زلزله‌های احتمالی باشد. به طور کلی رفتار لرزه‌ی سازه‌ها به عوامل بسیار زیادی مرتبط است. مناسب‌ترین روش طراحی در نظرگرفتن خصوصیات هر سازه و اعمال آن در روش طراحی است.

پانوشتها

1. pushover
2. hysteresis
3. damping
4. drift

منابع (References)

1. Maher, M.R. and Akbari, R. "Seismic behavior factor, R, for steel X-braced and knee-braced RC buildings", *Engineering Structures*, **25**(25), pp. 1505-1513 (2003).

2. Balendra, T. and Huang, X. "Overstrength and ductility factors for steel frames designed according to BS 5950", *Journal of Structural Engineering, ASCE*, **129**(8), pp. 1019-1035 (2003).
3. Freeman, S.A. "On the correlation of code forces to earthquake demands", Proc. 4th U.S.-Japan Workshop on the Improvement of Building Structural Design and Construction Practices, ATC-15-3, pp. 245-268 (1995).
4. Mirshahy, A.A., *The Effect of Indeterminacy and Overstrength on Strength Reduction Factor*, Master of Science Thesis, Civil Engineering Department, Iran University of science & Technology, (in Persian) (1998).
5. Asgarian, B. and Shokrgozar, H.R. "BRBF response

- modification factor”, *Journal of Constructional Steel Research*, **62**(2), pp. 290-298 (February 2009).
- 6. Kim, J. and Choi, H. “Response modification factors of chevron- braced frames”, *Engineering Structures*, **27**(2) pp. 285-300 (2005).
 - 7. Mwafy, A.M. and Elnashai, A.S., “Calibration of force reduction of factor of RC building”, *Journal of Earthquake Engineering*, **6**(22), pp. 239-273 (2002).
 - 8. Moghaddam, H., *Earthquake Engineering, Theory and Application*, Tehran, Farahang, (In Persian) (2002).
 - 9. American Institute of Steel, *Manual of Steel Construction*, Chicago (1989).
 - 10. Uang, C.M. “Establishing R (or R_w) and C_d factors for building seismic provisions”, *Journal of Structural Engineering ASCE*, **117**(1), pp. 19-28 (1991).
 - 11. BHRC, Iranian Code of Practice for Seismic Resistance Design of Buildings: Standard no. 2800 (3rd edition) Building and Housing Research Center (2005).
 - 12. Uang, C.M. “Seismic force reduction and displacement amplification factors”, *Proc. Tenth World Conference on Earthquake Engineering*, **10**, pp. 5875-5880 (1992).
 - 13. Schmidt, B.J. and Bartlett, F.M. “Review of resistance factor for steel: Resistance distributions and resistance factor calibration”, *Canadian Journal of Civil Engineering*, **29**(1), pp. 109-118 (2002).
 - 14. Miranda, E. and bertero, V., “Evaluation of strength reduction factors for Earthquake-resistant design”, *Earthquake Spectra*, **10**(2), pp. 357-379 (1994).
 - 15. Nassar, A.A.; Osterass, J.D. and Krawinkler, H. “Seismic design based on strength and ductility demands”, *Proc. Tenthworld Conference on Earthquake Engineering*, **10**, pp. 5861-5866 (1992).
 - 16. Newmark, N.M. and Hall, W.J. “Earthquake spectra and design. El Cerrito”, California: Earthquake Engineering Research Institute (EERI) (1982).
 - 17. FEMA-356, “Prestandara and commentary for the seismic rehabilitation of buildings” (2000).
 - 18. Computers & Structures Inc., *SAP2000 Structural Program*, Berkeley, California (2010).
 - 19. Osteraaas, J. and Krawinkler, H. “Seismic desiguz based on strength of structures”, *Proc. 4th US National Conf. on Earthquake Engineering*, **2**, pp. 955-964 (1990).
 - 20. Assaf, A.F., *Evaluation of Structural Overstrength in Steel Building Systems*, MSC thesis, Northrastern University, Boston, MA (1989).